

## بررسی شیوع و ژنوتایپینگ روتاویروس در کودکان مبتلا به اسهال حاد در تبریز

مریم صنایعی<sup>۱</sup>، هوتون رادپور<sup>۲</sup>، دکتر عبدالعلی استقامتی<sup>۳</sup>، دکتر عباسعلی کشتکار<sup>۴</sup>، مليحه نصیری<sup>۵</sup>، زهرا نوچی<sup>۶</sup>، سید رضا محبی<sup>۷</sup>، دکتر فراموز درخشان<sup>۸</sup>، دکتر محمد رضا زالی<sup>۹</sup>

- ۱- کارشناس ارشد میکروبیولوژی، محقق ویروس شناسی مرکز تحقیقات گوارش و کبد دانشگاه علوم پزشکی شهید بهشتی، تهران، ایران (مؤلف مسؤول)، تلفن تماس: sanaeimaryam@yahoo.com .۰۲۱-۲۲۴۲۲۵۱۸
- ۲- کارشناس میکروبیولوژی، محقق ویروس شناسی مرکز تحقیقات گوارش و کبد دانشگاه علوم پزشکی شهید بهشتی، تهران، ایران
- ۳- مرکز مدیریت بیماریها، معاونت سلامت، وزارت بهداشت درمان و آموزش پزشکی، تهران، ایران
- ۴- اپیدمیولوژیست، مرکز تحقیقات بیماریهای گوارش و کبد گلستان، دانشگاه علوم پزشکی گلستان، گرگان، ایران
- ۵- کارشناس ارشد آمارزیستی، مرکز تحقیقات گوارش و کبد دانشگاه علوم پزشکی شهید بهشتی، تهران، ایران
- ۶- کارشناس ارشد میکروبیولوژی، مرکز تحقیقات گوارش و کبد دانشگاه علوم پزشکی شهید بهشتی، تهران، ایران
- ۷- کارشناس ارشد ویروس شناسی، محقق ویروس شناسی مرکز تحقیقات گوارش و کبد دانشگاه علوم پزشکی شهید بهشتی، تهران، ایران
- ۸- فوق تحصص گوارش، دانشیار دانشگاه علوم پزشکی شهید بهشتی، تهران، ایران
- ۹- فوق تحصص گوارش، استاد دانشگاه علوم پزشکی شهید بهشتی، تهران، ایران

### چکیده

**زمینه و هدف:** روتا ویروس یکی از مهمترین عوامل ایجاد اسهال حاد در کودکان زیر ۵ سال می‌باشد. از این رو بررسی نمونه‌های اسهالی کودکان جهت تشخیص میزان شیوع روتاویروس، تعیین ژنوتایپ غالب به دلیل جلوگیری از مصرف نابجای آنتی‌بیوتیک و استفاده از واکسن ضروری به نظر می‌رسد. هدف این مطالعه بررسی میزان شیوع روتاویروس و ژنوتایپ غالب آن در جمعیت کودکان زیر ۵ سال مبتلا به اسهال حاد در تبریز می‌باشد.

**روش بررسی:** در طی یک سال (۱۳۸۴-۸۵)، در کل ۲۱۳ نمونه از تمام کودکان زیر ۵ سال مبتلا به اسهال حاد مراجعه کننده به مرکز طبی کودکان تبریز، جمع‌آوری و آزمایش الایزا جهت بررسی وجود آنتی‌زن گروه A روتاویروس انجام شد. سپس نمونه‌های مثبت در کوتاه‌ترین زمان ممکن تحت شرایط استاندارد به آزمایشگاه دایره تحقیقات ناشی از غذا منتقل شدند و برای تعیین تایپهای G و P از RT-PCR استفاده شد.

**یافته‌ها:** از کل ۲۱۳ نمونه جمع‌آوری شده، ۱۱۳ نمونه از نظر آنتی‌زن روتاویروس گروه A مثبت بودند، شیوع عفونت روتاویروس در جمعیت مورد بررسی ۵۴٪ بود. تعیین ژنوتایپ با آزمایش RT-PCR نشان داد که از این تعداد نمونه G1/۴٪، G4/۴۲٪، G1/۴٪، G1+G4/۱٪، G2+G4/۰.۵٪، G2+G4/۰.۳٪ و G1+G2+G4/۰.۳٪ در مورد P تایپ، P[8]٪.۶۸/۴٪، P[8+4]٪.۱۲/۲٪، P[4]٪.۱۲/۲٪ و P[6]٪.۲٪ تعیین شدند.

**نتیجه‌گیری:** یافته‌های ما شیوع بالا عفونت با روتاویروس را نشان می‌دهد بنابراین پیشنهاد می‌گردد در بررسی علت اسهال در کودکان روتاویروس مورد توجه بیشتری قرار گیرد، همچنین شایعترین ژنوتایپ G4 P[8] می‌باشد که می‌تواند راهنمای جهت استفاده از واکسن باشد.

**کلید واژه‌ها:** اسهال، روتاویروس، ژنوتایپ، تبریز

وصول مقاله: ۸۷/۳/۲۱ اصلاح نهایی: ۸۷/۱۱/۲۰ پذیرش مقاله: ۸۷/۱۲/۱

## مقدمه

نمی‌توان برای تعیین سروتیپ استفاده نمود. ژنوم ویروسی پروتئین‌های ساختمانی VP (Structural viral protein) و پروتئین‌های غیر ساختمانی NSP (nonstructural protein) را کد می‌کنند. تاکنون سه گروه عمده آنتیژن در روتاویروس شناخته شده است که دو گروه عمده آن شامل VP4 و VP7 پروتئین‌های کپسید خارجی هستند و دارای اپی‌توب‌هایی هستند که در واکنش خشنجی سازی ویروس اهمیت زیادی دارند. روتاویروس بر اساس (VP4) P تایپ و (VP7) G تایپ به ترتیب به ۱۴ و ۲۰ نوع سروتیپ مختلف تقسیم بندی می‌شود. P یک نوع پروتئین حساس به حرارت (Protease-sensitive protein) است که توسط قطعه ۴ رونویسی می‌شود و G گلیکوپروتئین (Glycoprotein) که توسط قطعه ۹ رونویسی می‌شود (۱).

روتاویروس با سروتایپ (ژنوتایپ) G1-G4 و P[8] از شایعترین ژنوتیپ‌های گزارش شده در سراسر دنیا می‌باشد. گزارش‌های مختلف G1P[8], G2P[4], G3P[8], G4P[8] را مسؤول اصلی ایجاد کننده اسهال در کودکان و شیرخواران می‌دانند (۱).

با توجه به گزارش شیوع روتاویروس در کودکان و شیرخواران در شهرهای مختلف ایران اطلاعات در مورد ژنوتیپ غالب ایجاد کننده اسهال و همچنین تنوع الگوی ژنوتیپی محدود می‌باشد. لذا در راستای هدف مهمی چون ایمن سازی کودکان در برابر روتاویروس، این مطالعه به بررسی شیوع و الگوی ژنوتیپی روتاویروس در کودکان مبتلا به اسهال مراجعه کننده به بیمارستان کودکان در تبریز پرداخته است.

روتاویروس برای نخستین بار در سال ۱۹۷۳ در سلولهای اپیتلیال دئودونوم یک کودک مبتلا به اسهال توسط میکروسکوپ الکترونی معرفی شده و اکنون به عنوان عامل عمدۀ اسهال کودکان بخصوص نوزادان و همچنین حیواناتی نظری گاو و خوک در سراسر دنیا شناخته شده است (۱). روتاویروس به طور سالیانه عامل ۱۱۱ میلیون مورد اسهال تک گیر، ۲۵ میلیون مراجعه به پزشک، ۲ میلیون بستری در بیمارستان و ۵۹۲۰۰۰-۳۵۲۰۰۰ مورد مرگ و میر در کودکان زیر ۵ سال در دنیا می‌شود (۲). میزان شیوع روتاویروس در بنگلادش (۲۴٪)، در اردن (۳۳٪)، کویت (۴۰٪)، ترکیه (۳۷٪)، هند (۵٪-۷۱٪)، ژاپن (۲۴٪)، آلمان (۲۴٪)، چین (۴۱٪) گزارش گردیده است.

روتاویروس عضو خانواده رئوویریده (Reoviridae) می‌باشد، قطر این ویروس‌ها حدود ۶۰ تا ۸۰ نانومتر است. ذرات روتاویروس دارای ۱۳۲ کپسوم بوده و فاقد پوشش هستند. روتاویروس‌ها کپسید سه لایه دارند.

روتاویروس در هفت گروه A-G تقسیم بندی می‌شود که گروه A باعث ایجاد گاستروانتریت در انسان بخصوص کودکان می‌شوند. اما سایر روتاویروس‌ها که خصوصیات آنتیژنی مجزایی دارند نیز باعث شیوع اسهال در کودکان و بالغین می‌شوند (۱۰).

بررسی‌های اپیدمیولوژیک مولکولی بر روی روتاویروس‌ها و بر اساس تفاوت در حرکت، یازده قطعه ژنوم RNA دو رشته‌ای در الکتروفورز، بر روی ژن پلی‌آکریل آمید را مشخص کرده است. بر اساس این بررسی‌ها، ناهمگونی زیادی در ژنوم ویروس‌ها دیده می‌شود، اما از تفاوت‌های موجود در ژنوم در الکتروفورز

از محصول قسمت اول مرحله تایپ دوم انجام می شد. پرایمرهای مورد استفاده در جدول ۱ نشان داده شده است (۲۶-۲۹). برای G تایپینگ، انجام هر واکنش در حجم ۵۰ میکرولیتر شامل  $\mu\text{l}$ , ۱۰X bufferII  $4/8 \mu\text{l}$ , Taq Polymerase  $1\mu\text{l}$ , dNTP  $1\mu\text{l}$ , MgCl $2 2/5 \mu\text{l}$ , primer VP7-R  $1\mu\text{l}$  و primer VP7-F  $1\mu\text{l}$  از تمام پرایمرهای استفاده شده در G تایپ یک ماکرولیتر به این حجم اضافه می گردد، Rnase free H2O  $31/5 \mu\text{l}$  و سرانجام یک میکرولیتر cDNA مراحل PCR شامل  $4, 94^{\circ}\text{C}$  ۴ دقیقه، یک سیکل،  $94^{\circ}\text{C} ۳۰$  دقیقه،  $42^{\circ}\text{C} ۲$  دقیقه،  $72^{\circ}\text{C} ۱$  دقیقه شامل سیکل سپس  $72^{\circ}\text{C} ۷$  دقیقه یک سیکل و نهایتاً در  $15^{\circ}\text{C}$  وارد hold می شود.

برای P تایپینگ، انجام هر واکنش در حجم ۵۰ میکرولیتر به ترتیب حجم های استفاده شده با پرایمرهای مخصوص به خود که در جدول یک بیان شده، همانند مرحله قبل می باشد. مراحل PCR شامل  $4, 94^{\circ}\text{C}$  ۴ دقیقه، یک سیکل،  $94^{\circ}\text{C} ۱$  دقیقه،  $45^{\circ}\text{C} ۲$  دقیقه،  $72^{\circ}\text{C} ۱$  دقیقه شامل سیکل سپس  $72^{\circ}\text{C} ۷$  دقیقه یک سیکل و نهایتاً در  $15^{\circ}\text{C}$  وارد hold می شود.

محصول به دست آمده در PCR پس از الکتروفوروز بر روی ژل آگاروز  $1/5\%$  با رنگ آمیزی اتدیوم بروماید مشاهده شد.

سرانجام نتایج این مطالعه با بکارگیری نرم افزار تحقیقاتی (SPSS, Chicago, IL) مورد بررسی و آنالیز قرار گرفت. تست chi-square آزمون آماری برای معنی دار بودن ارتباط بین شیوع روتاویروس در گروههای سنی کودکان، مؤنث و مذکر بودن و شیوع فصلی استفاده شد.

## روش بررسی

بر اساس مطالعه مقطعی (Cross-sectional) در طی اسفند ۱۳۸۴ تا اسفند ۱۳۸۵ (به روش سرشماری) از تمامی کودکان زیر ۵ سال که با علائم اسهال حاد به مرکز طبی کودکان تبریز مراجعه کرده بودند، نمونه مدفعی گرفته شد و بر اساس تست الایزا وجود آنتیژن (Dakocytomation, Denmark) نمونه های مثبت در اولین فرصت در جعبه سرد حاوی یخ (دماهی زیر  $4^{\circ}\text{C}$  درجه سانتیگراد) به آزمایشگاه بیماریهای ناشی از غذا و اسهال های مزمن جهت ژنو تایپینگ به تهران منتقل شدند و تا انجام آزمایشات بعدی در دماهی  $20-20^{\circ}\text{C}$ - نگهداری شدند.

استخراج RNA ویروسی: برای آماده سازی نمونه های مدفعی  $0/5$  میلی لیتر نمونه در  $200$  میکرولیتر بافر سالین فسفات به مدت  $10$  ثانیه ورتسکس شدند و پس از قرار دادن به مدت  $15$  دقیقه در دماهی QIAamp viral RNA mini kit(Qiagen/Westburg,Leusden,the Netherland) استخراج گردید سپس cDNA سازی به روش RT-PCR انجام شد.

برای تایید روتاویروس بودن نمونه از PCR تشخیصی مربوط به ژن VP6 استفاده شد که شامل تکثیر یک قطعه  $382$  جفت بازی مربوط به RNA شماره  $6$  می باشد.

برای انجام ژنو تایپینگ که شامل P تایپینگ و G تایپینگ است دو مرحله PCR انجام می شد. برای مرحله اول G تایپینگ تکثیر ژن VP7 و در مرحله دوم با استفاده از محصول مرحله اول جهت تشخیص نوع تایپ که از روش multiplex-PCR استفاده شد و در مرور P تایپینگ نیز مرحله اول تکثیر VP4 و با استفاده

## یافته‌ها

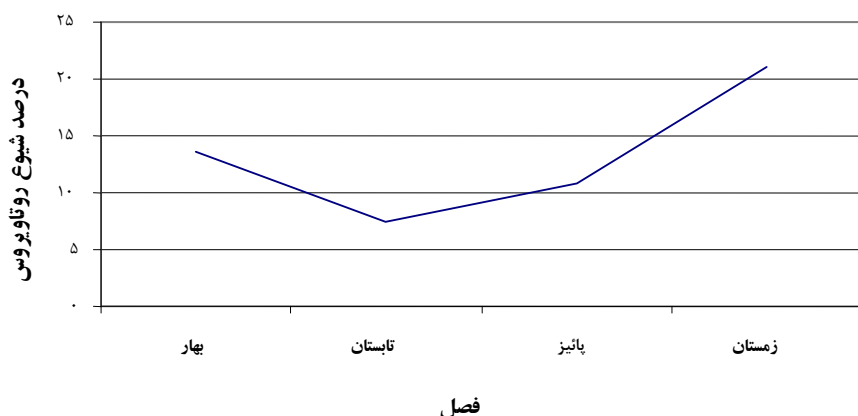
در فصل زمستان به صورت معنی‌داری بیشتر از سایر فصول سال بود ( $p < 0.001$ ) (نمودار ۱). از ۱۱۳ مورد مثبت ۹۸ مورد با RCR-VP6 عنوان multiplex روتاویروس تایید شدند. سپس با استفاده از PCR تایپینگ انجام شد که حاصل G تایپینگ شامل٪ ۵/۱، G1+G4، ٪ ۱۷/۳، G1، ٪ ۲۱/۴، G4، ٪ ۴۲/۹، G2+G4، ٪ ۳/۱، G1+G2+G4 در این بین یک سویه با تایپ G4+G9 بود، ٪ ۶/۱ سویه‌ها قابل تایپینگ نبودند. حاصل P تایپینگ نیز شامل٪ ۶۸/۴، P[8]، ٪ ۱۲/۲، P[4]، ٪ ۱۲/۲، P[8+4] و ٪ ۵/۱ سویه‌ها قابل تایپینگ نبودند.

اطلاعات مربوط به ژنوتایپینگ که شامل G تایپینگ و P تایپینگ توأم با هم در یک سویه می‌باشد در نمودار ۲ قابل مشاهده می‌باشد.

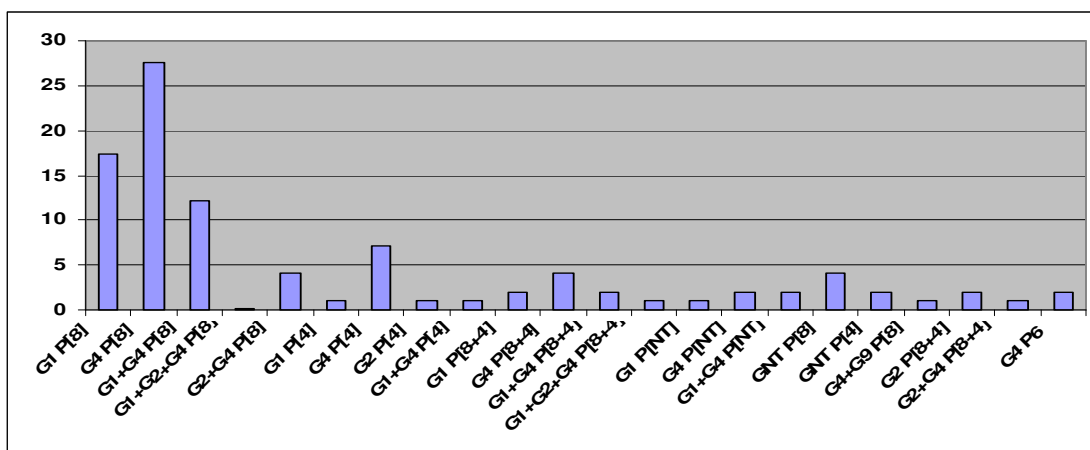
میزان شیوع گاستروانتریت با عامل روتاویروس: از مجموع ۲۱۳ نمونه (۸۹ دختر و ۱۲۴ پسر) کودکان، ۱۱۳ نمونه به روتاویروس گروه A آلوده بودند به عبارت دیگر شیوع روتاویروس ٪ ۵۳/۱ بود. در این بین ٪ ۳۷/۲ دختر و ٪ ۶۲/۸ پسر روتاویروس مثبت بودند.

۹۹ مورد از ۱۱۳ نمونه مثبت در گروه سنی زیر ۲ سال جداسازی شد که بیشترین نسبت در کودکان گروه سنی ۷-۱۲ ماه (٪ ۳۷/۲) مشاهده شد. بین گروه‌های سنی در کودکان و بروز روتاویروس اختلاف معنی‌دار نمی‌باشد ( $p > 0.99$ ). میزان جداسازی روتاویروس بر حسب گروه سنی در جدول ۲ نشان داده شده است.

در بررسی ما شیوع فصلی روتاویروس در زمستان بیشترین میزان را نشان داد (٪ ۲۱/۱) سپس بهار (٪ ۱۳/۶)، پائیز (٪ ۱۰/۸) و نهایتاً تابستان (٪ ۷/۵). شیوع روتاویروس



نمودار ۱: توزیع بروز فصلی اسهال ناشی از روتاویروس در کودکان تبریز



نمودار ۲: فراوانی و تنوع ژنوتیپ روتاویروس در کودکان مبتلا به اسهال در تبریز

درصد فراوانی ژنوتیپ = X

تنوع ژنوتایپ = Y

جدول ۱: پرایمرهای استفاده شده در G تایپینگ و P تایپینگ در دو مرحله برای سویه‌های روتاویروس

Primer	Sequence 5-3	Position (nt)	Amplicon	reference
<b>G-typing(a)</b>				
1 <sup>st</sup> round				
VP7-F	ATG TAT GTT ATT GAA TAT ACCAC	51-71	881	
VP7-R	AAC TTG CCA CCA TTT TTT CC	914-933	881	Iturriza-Go'mara et al.(2002)
<b>2nd round</b>				
G1	CAA GTA CTC AAA TCA ATG ATG G	314-335	618	Gouvea et al.(1990)
G2	CAA TGA TAT TAA CAC ATT TTC TGT G	411-435	521	Gouvea et al.(1990)
G3	ACG AAC TCA ACA CGA GAG G	250-269	681	Iturriza-Go'mara et al.(2004)
G4	CGT TTC TGG TGA GGA GTT G	480-499	452	
G8	GTC ACA CCA TTT GTA AAT TCG	178-198	754	Gouvea et al.(1990)
G9	CTT GAT GTG ACT AY(a) AAT AC	757-776	179	Gouvea et al.(1990)
G10	ATG TCA GAC TAC AR(b)A TAC TGG	666-687	266	Iturriza-Go'mara et al.(2004)
VP6-F	GAC GGV(c) GCR (b)ACT ACA TG GT	747-766	382	Iturriza-Go'mara et al.(2004)
VP6-R	GTC CAA TTC ATN(d) CCT GGT G	1126-1106	382	
<b>P-typing(b)</b>				
1 <sup>st</sup> round				
Con3	TGG CTT CGC CAT TTT ATA GAC A	11-32	876	Gentsch et al.,1992
Con2	ATT TCG GAC CAT TTA TAA CC	868-887	876	Gentsch et al.,1992

2 <sup>nd</sup> round					
P[4]	CTA TTG TTA GAG GTT AGAGTC	474-494	483	Gentsch et al., 1992	
P[6]	TGT TGA TTA GTT GGA TTC AA	259-278	267	Iturriza-Go'mara et al.(2004)	
P[8]	TCT ACT GGR TTR CAN TGC	339-356	345	Iturriza-Go'mara et al.(2004)	
P[9]	TGA GAC ATG CAA TTG GAC	385-402	391	Iturriza-Go'mara et al.(2004)	
P[10]	ATC ATA GTT AGT AGT AGG	575-594	583	Iturriza-Go'mara et al.(2004)	
P[11]	GTA AAC ATC CAG AAT GTG	305-323	312	Iturriza-Go'mara et al.(2004)	

Con-3

b=(R=A or G) d=(Y=C or T)

a=(V=A,C or G)

c=(N=A,T,C or G)

جدول ۲: توزیع سنی کودکان مبتلا به عفونت روتاویروس در بیمارستان کودکان تبریز

منفی	مثبت	مؤنث (%)		گروه سنی (ماه)
		منفی	مثبت	
۱۵	(۳۴/۸)۸	۹	(۳۵/۷)۵	۰-۶
۱۹	(۵۶/۸)۲۵	۱۸	(۴۸/۶)۱۷	۷-۱۲
۱۵	(۵۴/۵)۱۸	۱۲	(۴/۵)۱۲	۱۳-۱۸
۲	(۸۳/۳)۱۰	۴	(۵۰)۴	۱۹-۲۴
۱	(۷۵)۳	۱	(۵۰)۱	۲۵-۳۰
۰	(۱۰۰)۲	۰	(۱۰۰)۱	۳۱-۳۶
۱	(۸۳/۳)۵	۳	(۴۰)۲	+۳۶

می دهد. این رقم در کشور پیشرفته‌ای چون آمریکا از ۱۹۷۳ تا ۱۹۸۳ بطور سالیانه ۵۰۴ مورد در کودکان یک ماهه تا چهار ساله اتفاق افتاده بود که نمایانگر اهمیت این ویروس می باشد (۱۲). در مطالعات مشابه انجام شده میزان شیوع ۱۱/۴٪ در شیراز (۱۳)، ۱۵/۳٪ در تهران (۱۴)، ۳۰٪ در راهدان (۱۵)، ۳۱/۵٪ در زنجان (۱۶) و ۷۸٪ در شهرکرد نشان می دهد (۱۷). در این مطالعه حدود ۵۴٪ از موارد اسهال

### بحث

روتاویروس با اختصاص دادن ۵۰-۳۰٪ سهم گاستروانتریت در سراسر دنیا به خود یکی از مهمترین عوامل ایجاد اسهال حاد در کودکان و شیرخواران می باشد (۱۱). سالانه ۱۰/۶ میلیون مرگ در کودکان زیر ۵ سال بدلیل اسهال اتفاق می افتد که یک مورد از هر ۶ مورد عامل آن روتاویروس می باشد، ۱۸٪ آن یعنی بیش از دو میلیون مورد در کشورهای در حال توسعه رخ

بستن تدابیر ویژه و مراقبت‌های بیشتر جهت کنترل و جلوگیری از ابتلا کودکان به روتاویروس مؤثر واقع شود. با توجه به شیوع بالای روتاویروس، مشخص شدن ژنوتیپ غالب می‌تواند در جهت ایمن سازی کودکان کمک کننده باشد. بررسی‌های انجام شده ژنوتیپ G1-G4 را مسؤول ایجاد عفونت روتاویروس می‌دانند و تاکنون [8] G1P را تایپ غالب در دنیا معرفی کرده‌اند (۱). در دو مطالعه قبلی انجام شده در شهر کرد و تهران ژنوتایپ [8] G1P نوع غالب ایجاد کننده اسهال بودند در بررسی ما [G4P[8]/۲۷٪] ژنوتیپ غالب بود و در رتبه بعدی [G1P[8]/۱۷٪] قرار داشت. در ژنوتایپ روتاویروس‌های جدأ شده در تبریز علاوه بر ژنوتایپ‌های غالب مشابه با سایر گزارش‌های دنیا، ژنوتایپ‌های مخلوط (Mixed-type) هم مشاهده شد که [G1+G4P[8]/۱۲٪] بیشترین نوع آن بود تایپ‌های [G1+G2+G4 P[8+4]/۰٪] و [G1+G2+G4P[8]/۰٪] نیز جداسازی شد. در عراق نوع (G1/38٪)، در ژاپن به یک نسبت G1-G4 (۲۴٪) که (۳۰-۴۰٪) را شامل می‌شود، در اسپانیا (۶۱٪)، سوئد (۵۷٪)، بلژیک (۲۸٪) نیز G1 تایپ غالب بود (۲۲٪). در چین سروتیپ G3 (۹٪) و در هند G2 و G9 سروتیپ غالب می‌باشد (۲۵٪). سروتیپ (ژنوتیپ) نمونه‌های روتاویروس کودکان در تبریز و سایر مطالعات قبلی انجام شده در ایران با سروتیپ‌های شایع در دنیا مطابقت دارد. نتایج این بررسی نشان می‌دهد که روتاویروس به عنوان عامل بیماری‌زا در اسهال کودکان بخصوص اطفال زیر یک سال بیشتر مورد توجه قرار گیرد و از مصرف نابجای آنتی‌بیوتیک اجتناب شود. همچنین مشخص شدن ژنوتیپ غالب باعث فراهم نمودن بستر مناسب جهت

مرربوط به روتاویروس بود. با توجه به اهمیت روتاویروس به عنوان ایجاد کننده اسهال در کودکان، تعداد بررسی‌های انجام شده در ایران محدود می‌باشد. یافته‌های ما نشان دهنده شیوع بیش از ۸۰٪ روتاویروس در گروه سنی زیر دو سال با بیشترین نسبت در شیر خواران ۱۲-۷ ماهه بوده است، نتایج ما با گزارش WHO و کره مشابه بوده است (۱۹، ۲۰). در کشورهای توسعه یافته ۷۰-۸۰٪ موارد عفونت روتاویروس در سین قابل از ۲۴ ماه رخ می‌دهد (۱۶-۱۸)، با توجه به یافته‌ها، کودکان در شش ماهگی تا دو سالگی از مهمترین جمعیت‌های در معرض خطر عفونت با روتاویروس می‌باشند و تشخیص روتاویروس در نمونه‌های اسهال دارای اهمیت می‌باشد.

در تعداد محدودی از بررسی‌های گذشته در ایران الگوی فصلی بروز عفونت روتاویروس در ماههای سرد سال (اوخر زمستان و اوایل بهار) مشخص شده است (۲۱-۲۴٪). در مطالعه حاضر بیشترین موارد اسهال روتاویروس در فصل زمستان و بهار رخ داده بود، این نتایج مشابه سایر مناطقی که چون ایران آب و هوای معتدل دارند، می‌باشد. در آب و هوای معتدل بیشترین موارد اسهال روتاویروس در فصول سرد و معتدل سال گزارش شده است (۱۱٪). در ترکیه عنوان یک کشور همسایه با آب و هوای سردتر از ایران دی-آذر زمان بیشترین بروز روتاویروس و در کویت عنوان یک کشور همسایه با آب و هوای گرمتر از ایران، اردیبهشت-فروردین مشخص شده است. این زمان در کشورهای اروپایی در اوایل بهار مشخص شده است (۲۲٪). بعلت محدودیت اطلاعات نمی‌توان نقشه زمانی بروز عفونت روتاویروس را در نقاط جغرافیایی ایران تعیین کرد این امر می‌تواند فصل مناسب ایمن سازی کودکان و بکار

احتیاج به یک برنامه ریزی هماهنگ جهت نمونه‌گیری (برای میزان شیوع) و تعیین ژنوتایپ‌های شایع و تنوع ژنتیکی آن در کشور بخصوص استان‌های همسایه با عراق، افغانستان و پاکستان برای مشخص کردن نوع واکسن موردنیاز کودکان می‌باشد.

### تشکر و قدردانی

از همکاران ارجمند در بیمارستان کودکان تبریز که با جمع آوری و ارسال نمونه در این تحقیق مساعدت و همکاری نمودند سپاسگزاری می‌نمایم. از پرسنل محترم مرکز تحقیقات گوارش و کبد دانشگاه پزشکی شهید بهشتی که در انجام این پژوهش ما را یاری نمودند قدردانی می‌شود.

ایمن سازی کودکان علیه روتاویروس در شهر تبریز می‌شود.

### نتیجه‌گیری

در نهایت می‌توان نتیجه‌گیری کرد که شیوع روتاویروس در شمال ایران بالا می‌باشد که این نتیجه منطبق با سایر بررسی‌های انجام شده قبلی در ایران، تایید بر بالا بودن شیوع روتاویروس در کودکان دارند. با توجه به پر جمعیت بودن ایران و محدودیت گزارشات در مورد شیوع روتاویروس، می‌توان گفت علاوه بر رعایت بهداشت، مهمترین راه کاهش شیوع عفونت با این ویروس تهیه واکسن مناسب و استفاده آن می‌باشد بنابراین برای تعیین ژنوتایپ غالب در کودکان ایران

### References

- Parashar UD, Bresee JS, Gentsch JR and Glass RI. Rotavirus. *Emerg Infect Dis*, 1998; 4: 561-70.
- Parashar UD, Hummelman EG, Bresee JS, Miller MA, Glass RI. Global illness and deaths caused by rotavirus disease in children. *Emerg Infect Dis*, 2003; 9: 565-72.
- Rahman M, Sultana R, Ahmed G, Nahar S, Hassan ZM, Saiada F, Podder G, Faruque Abu SG. Prevalence of G2P[4] and G12P[6] rotavirus, Bangladesh. *Emerg Infect Dis*, 2007; 13:18-24.
- Youssef M, Shurman A, Bougnous ME, Rawashdeh M, Bretagene S, Strockbine N. Bacterial, Viral and parasitic enteric pathogens associated with Acute diarrhea in hospitalized children from northern Jordan. *FEMS Immunol Med Microbiol*. 2000; 28: 257-63.
- Sethi SK, AL-Nakib W, Khuffash FA, Majeed HA. Acute diarrhea and rotavirus infection in young children in Kuwait. *Ann Trop Paediatr*, 1984; 4: 117-121.
- Karadag A, Acikgoz ZC, Avi Z, Catal F, Gocer S, Gamderzade S. Childhood diarrhoea in Ankara, Turkey: epidemiological and clinical features of rotavirus-positive versus rotavirus negative cases. *Scand J Infect Dis*, 37: 269-75.
- Broor S, Dhrubaa G and Mathur P. Molecular epidemiology of rotaviruses in India, Review Article, *Indian J Med Res*, 118: 59-67.
- Yoshinaga M, Phan TG, Nguyen TA, Yan H, Yagyu F, Okitsu S, Muller WE, Ushijima H. Changing distribution of group A rotavirus-types and genetic analysis of G9 circulating in Japan. *Arch Virol*; 2006; 151: 183-192.
- Zhao-YF, Bei W, Paul E.K, Joseph SB, Li JZ, Li WS, Zeng QD, Jing YT, An CH, Hui S, Xiao BS, Batmunkh N, Erik Hn, Zhi YX, Roger I. Sentinel Hospital Surveillance for Rotavirus Diarrhea in the People's Republic of China, *J Infect Dis*, 2005; 192: S94-9.
- Brooks GF. Jawetz, Melnick and Adelberg's Medical Microbiology 22 nd ed. 2001: 493-499.
- Bern C, Martines J, De ZI, The magnitude of the global problem of diarrhoeal disease: A ten-year update. *Bull WHO*. 1992; 70: 705-714.
- Bryce J, Bosch-pinto C, Shibuya K. WHO estimates of the causes of death in children. *Lancet*. 2005; 365: 1147-1152.
- Hassanzadeh P, Al-e-Yasin F. The prevalence of bacterial and viral agents in fecal specimens of children in Shiraz JOURNAL OF KERMAN UNIVERSITY OF MEDICAL SCIENCES 1379; 18: 16-11

14. Zarnani AH, Modarres SH, Jadali F, Sabahi F, Moazzeni SM, Vazirian F. Role of rotavirus in children with acute diarrhea in Tehran, Iran. *J Clin Microbiol.* 2004; 29: 189-193.
15. Saeb M, Morady A, Mokhtariazad T, Sajedianfard J. Determination of electrophoretotype of Rotaviruses causative agents of diarrhea in children under two years old referred to Tehran and Zahedan hospitals. *JOURNAL OF KERMAN UNIVERSITY OF MEDICAL SCIENCES* 1376; 3: 106-101
16. Kazemi A, Zomorrodi-Sofiani A, Esmaeil Zadeh A, Shykhi A, Movsavinab N. The comparison of clinical and laboratory findings in gasteroenteritis of rotavirus and others etiology in 2 months to 5 years old admitted patients, Zanjan 1383. *JOURNAL OF ZANJAN UNIVERSITY OF MEDICAL SCIENCES & HEALTH SERVICES* 1385; 57: 32-38
17. Khalili BC, Uevas LE, Reisi N, Dove W, Cunliffe NA, Hart CA. *J Med Virol.* 2004; 73: 309-312.
18. Jacobson RM. The current status of the rotavirus vaccine. 1999; 17: 1690-9 18.
19. World Health Organization. Research priorities for diarrhoeal disease among young children: rotavirus and cholera immunization. *Bull World Health Organ* 1985; 63: 569-83.
20. Jung SK, Jung OK, Soo CCH, Young TJ, et al. Epidemiology profile of rotavirus infection in the republic of Korea :results from prospective surveillance in the Jeongeub District, 1 July 2002 through 30 June 2004. *J Infect Dis.* 2005; 192: S49-56.
21. Samarbafzadeh A, Mazaheri Tehrani E, Makvandi M, Taremi M. Epidemiology Aspects of Rotavirus Infection in Ahwaz, Iran. *J Health Popul Nutr.* 2005; 23: 245-249.
22. Damme PV, Giaquinto C, Maxwell M, Todd P, Wielen MVD. Distribution of rotavirus genotype in Europe, 2004-2005: the reveal study. *J Infect Dis.* 2007; 195: S17-25.
23. Ahmed HM, Brian J, Coulter S, Nakagomi O, Hart CA, Zaki JM, AL-Rabaty AA, Dove W, Cunliffe NA. Molecular characterization of rotavirus gastroenteritis strains, Iraqi Kurdistan .*Emerge Infect Dis.* 2006; 12: 824-826.
24. Ushijima H. Rotavirus Infection in Asia. *Pediatrics International*; 2000; 42: 392-394.
25. Jain V, Das BK, Bhan MK, Glass RI, Gentsch JR. Indian Strain Surveillance Collaborating Laboratories. Great diversity of group A rotavirus strains and high prevalence of mixed rotavirus infections in India. *J Clin Microbiol* 2001; 39: 3524-9.
26. Iturriza-Gomara M, Wong C, Blome S, Desselberger U, Gary J. Molecular Characterization of VP6 Genes of Human Rotavirus Isolates: Correlation of Genogroups with Subgroups and Evidence of Independent Segregation. *J Virol.* 2002; 76: 6596-6601.
27. Iturriza-Gomara M, kang G, Gary J. Rotavirus genotyping: Keeping up with an evolving population of human rotaviruses. *J Clin virol.* 2004; 31: 259-265.
28. Gentsch JR, Glass RI, Woods P, Gouvea V, Gorziglia M, Flores J, Das BK, Bhan MK. Identification of group A rotavirus gene 4 types by polymerase chain reaction. *J Clin Microbiol*, 1992; 30: 1365-1373.
29. Gouvea V, Glass RL, Woods P, Taniguchi K, Clark HF, Forrester B, Fang ZY. Polymerase chain reaction amplification and typing of rotavirus nucleic acid stool specimens: *J Clin Microbiol*, 1990; 28: 276-282.